

Quelques aspects sur l'utilisation des véhicules automobiles

1. Étude thermodynamique d'un moteur de voiture

1.1. Représentation du cycle

1.1.1. Allure du cycle thermodynamique.

- Le cycle est parcouru dans le sens horaire. C'est donc un cycle moteur.

En effet, le travail reçu par le fluide au cours d'un cycle est

$$W = - \oint_{\text{cycle}} p dV = \int_{(B)}^{(A)} p dV - \int_{(C)}^{(D)} p dV < 0 .$$

- L'aire du cycle est le travail délivré au milieu extérieur au cours d'un cycle.

1.1.2. Diagramme $T(S)$.

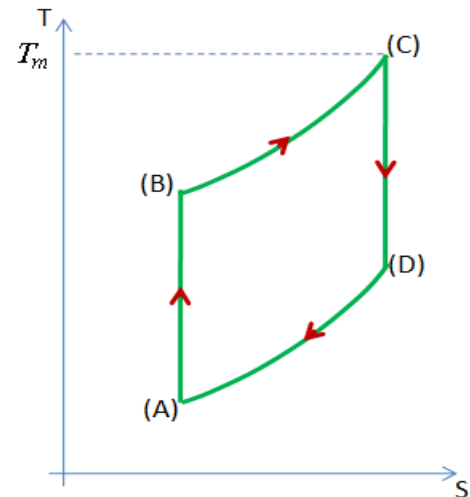
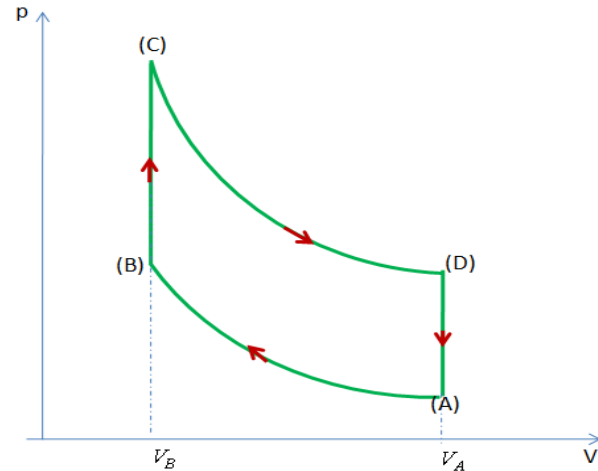
- Les transformations AB et CD sont adiabatiques réversibles, donc isentropiques : $S = \text{cste}$ au cours de ces transformations.

Donc : $T(S) = \text{cste}$.

- à volume constant, $dS = C_V \frac{dT}{T} \Rightarrow S(T) = C_V \ln\left(\frac{T}{T_0}\right) + S_0$.

$$\Rightarrow T(S) = T_0 \exp\left(\frac{S - S_0}{C_V}\right) : \text{Au cours des transformations}$$

isochores BC et DA, les courbes $T(S)$ sont des branches d'exponentielle.



1.2. Expression du rendement

1.2.1. $Q_C > 0$ et $Q_F < 0$. $r = -\frac{W}{Q_C}$. Or d'après le 1^{er} principe ,

$$W + Q_C + Q_F = 0 . \text{ d'où : } r = -\frac{W}{Q_C} = 1 + \frac{Q_F}{Q_C} .$$

$$1.2.2. \begin{cases} Q_{AB} = 0 \\ W_{AB} = \frac{nR}{\gamma-1}(T_B - T_A) \end{cases} ; \begin{cases} W_{BC} = 0 \\ Q_{BC} = \frac{nR}{\gamma-1}(T_C - T_B) \end{cases} ; \begin{cases} Q_{CD} = 0 \\ W_{CD} = \frac{nR}{\gamma-1}(T_D - T_C) \end{cases} ; \begin{cases} W_{DA} = 0 \\ Q_{DA} = \frac{nR}{\gamma-1}(T_A - T_D) \end{cases} .$$

$$1.2.3. \text{ On a : } r = 1 + \frac{Q_F}{Q_C} = 1 + \frac{Q_{AD}}{Q_{BC}} = 1 - \frac{T_D - T_A}{T_C - T_B} . \text{ or : } \frac{T_D}{T_C} = \frac{T_A}{T_B} = x^{1-\gamma} , \text{ donc : } \frac{T_D}{T_C} = \frac{T_A}{T_B} = \frac{T_D - T_A}{T_C - T_B} = x^{1-\gamma} .$$

D'où : $r = 1 - x^{1-\gamma}$. $r'(x) = (\gamma-1)x^{\gamma-2} > 0$: le rendement augmente avec x .

1.3. Calcul du rendement

$$1.3.1. V_B = 45 \text{ cm}^3 \text{ et } V_A = V_B + lS = 420 \text{ cm}^3 \Rightarrow r \approx 59\% .$$

$$1.3.2. \text{ La durée d'un tour est } 60 \times 1/N \text{ (s), d'où : } \tau_c = 60 \times 2 / N \approx 43 \text{ ms} .$$

1.3.3. La consommation en carburant par unité de temps est de $D_m = \frac{dm}{dt} = \rho \frac{dV}{ds} \frac{ds}{dt} = \rho v_c v$. La puissance thermique délivrée par la combustion dans chacun des quatre cylindres est donc :

$$\dot{Q}_c = \frac{dQ_c}{dm} \frac{dm}{dt} = \frac{1}{4} q D_m = \frac{1}{4} q \rho v_c v. \text{ Ainsi, au cours d'un cycle, } Q_c = \frac{1}{4} q \rho v_c v \tau_c : \text{ AN : } \underline{Q_c \# 465 J}.$$

1.3.4. On a : $\frac{T_D}{T_C} = \frac{T_A}{T_B} = \frac{T_D - T_A}{T_C - T_B} = x^{1-\gamma}$ et $Q_c = \frac{1}{4} q \rho v_c v \tau_c = \frac{nR}{(\gamma-1)} (T_C - T_B) = \frac{p_A V_A}{(\gamma-1) T_A} (T_C - T_B) \Rightarrow$

$$T_m = T_C = x^{\gamma-1} T_D \text{ et } T_D - T_A = x^{1-\gamma} (T_C - T_B) = x^{1-\gamma} T_A \frac{(\gamma-1) q \rho v_c v \tau_c}{4 p_A V_A} \Rightarrow$$

$$T_D = T_A \left[1 + x^{1-\gamma} \frac{(\gamma-1) q \rho v_c v \tau_c}{4 p_A V_A} \right] \text{ et : } T_m = T_A \left[x^{\gamma-1} + \frac{(\gamma-1) q \rho v_c v \tau_c}{4 p_A V_A} \right]. \text{ AN : } \underline{T_m \# 2400 K}.$$

1.3.5. Le cycle de Carnot est constitué de deux isothermes T_m et T_A et deux isentropes. D'après le 2^{ème}

principe $\frac{Q_c}{T_m} + \frac{Q_F}{T_A} = 0 \Rightarrow r_c = 1 - \frac{T_A}{T_m}$. AN : $\underline{r_c \# 85,4\%}$. $r < r_c$ conformément au théorème de Carnot.

1.3.6. La puissance mécanique délivrée par le moteur à quatre cylindres est $\underline{p_{méca} = r \dot{Q}_c = r q \rho v_c v}$.

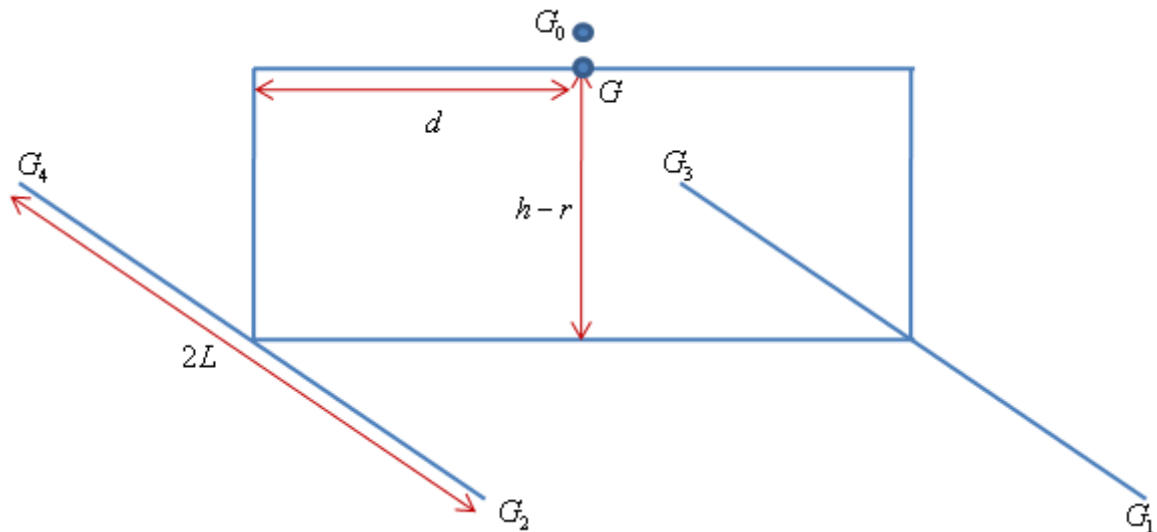
$$\text{AN : } \underline{p_{méca} \# 25,6 kW}.$$

2. Étude du mouvement d'une voiture

2.1. Préliminaire

2.1.1. Notons : x l'abscisse de G et $2L = G_1 G_3 = G_2 G_4$. $\vec{OG}_1 = (x+d)\vec{u}_x + r\vec{u}_y + L\vec{u}_z$.

$$\vec{OG}_3 = (x+d)\vec{u}_x + r\vec{u}_y - L\vec{u}_z, \vec{OG}_2 = (x-d)\vec{u}_x + r\vec{u}_y + L\vec{u}_z, \vec{OG}_4 = (x-d)\vec{u}_x + r\vec{u}_y - L\vec{u}_z. \vec{v}_i = \dot{x}\vec{u}_x.$$



2.1.2. $\vec{v}_g = \vec{v}(I_i \in S_i / S') = \vec{v}_i + \vec{I_i G_i} \times \vec{\omega} = \dot{x}\vec{u}_x + r\vec{u}_y \times \dot{\theta}\vec{u}_z = (\dot{x} + r\dot{\theta})\vec{u}_x = (v_i + r\omega)\vec{u}_x$.

2.1.3. La condition de non glissement des roues sur le sol est : $\vec{v}_g = \vec{0} \Rightarrow v_i + r\omega = 0$.

2.1.4. $S_0 = \{\text{carrosserie} + \text{passagers}\}$ de masse $m_0 = M$, de centre d'inertie G_0 . D'après le théorème de

$$\text{Koenig : } E_c(\Sigma / \mathcal{R}) = \sum_{i=0}^4 E_c(S_i) = \frac{1}{2} M v_i^2 + 4 \times \left(\frac{1}{2} m v_i^2 + \frac{1}{2} J \omega^2 \right) = \frac{1}{2} M' v_i^2 + 2 J \omega^2.$$

$$\text{Soit : } E_c(\Sigma / \mathcal{R}) = \left(\frac{1}{2} M' + m \right) v_i^2.$$

2.1.5. $\underline{\vec{P}(\Sigma / \mathcal{R}) = M' \vec{v}_G = M' v_i \vec{u}_x}.$

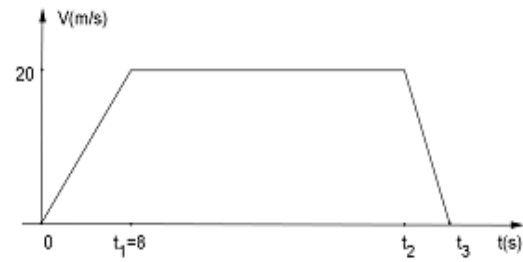
$$\vec{L}_G(\Sigma/\mathcal{R}) = \overrightarrow{GG_0} \times M\vec{v}_i + 4J\vec{\omega} + \left(\sum_{i=1}^4 \overrightarrow{GG_i} \right) \times m\vec{v}_i = 4J\vec{\omega} + \left(\sum_{i=0}^4 \overrightarrow{GG_i} \right) \times m_i\vec{v}_i = 4J\vec{\omega} = -2mr v_i \vec{u}_z.$$

Soit : $\vec{L}_G(\Sigma/\mathcal{R}) = -2mr v_i \vec{u}_z.$

2.2. .

2.2.1. .

- Pour , $0 \leq t \leq t_1, v(t) = 2,5t \text{ (m.s}^{-1}\text{)} \text{ et } a(t) = 2,5 \text{ms}^{-2}.$
- Pour , $t_1 \leq t \leq t_2, v(t) = 20 \text{ m.s}^{-1} \text{ et } a(t) = 0 \text{ ms}^{-2}.$
- Pour , $0 \leq t \leq t_1, v(t) = 2,5t \text{ (m.s}^{-1}\text{)} \text{ et } a(t) = 2,5 \text{ms}^{-2}.$
- Pour , $t_2 \leq t \leq t_3, v(t) = 20 \frac{t_3 - t}{t_3 - t_2} \text{ (m.s}^{-1}\text{)} \text{ et } a(t) = -\frac{20}{t_3 - t_2} \text{ ms}^{-2}.$



2.2.2. La puissance délivrée par le moteur en phase d'accélération est : $p_m = p_{m1} + p_{m3} = 2\vec{\Gamma} \cdot \vec{\omega} = 2\Gamma \frac{v}{r}.$

2.2.3. Le TPC appliqué à $\{\Sigma \cup sol\} \Rightarrow \frac{dE_C(\Sigma/\mathcal{R})}{dt} \Big|_{\mathcal{R}} = P_{int} + P_{ext} = 2 \left(\frac{1}{2} M' + m \right) av.$

Or : $P_{ext} = M' \vec{g} \cdot \vec{v} = 0$ et $P_{int} = P_{contact} + p_m = 0 + 2\Gamma \frac{v}{r}$ (roulement sans glissement et contact suivant

une ligne). D'où : $\Gamma = \left(\frac{1}{2} M' + m \right) ar.$

2.2.4. Le TRC appliqué à la voiture s'écrit : $\frac{d\vec{P}(\Sigma/\mathcal{R})}{dt} \Big|_{\mathcal{R}} = M' \vec{g} + 2\vec{R}_1 + 2\vec{R}_2 = M' a \vec{u}_x.$

En projection on obtient : $M' a = 2(T_1 + T_2)$ (1) et $M' g = 2(N_1 + N_2)$ (2).

Le TMC appliqué à la roue (i) s'écrit : $\frac{d\vec{L}_i^*}{dt} \Big|_{\mathcal{R}} = \overrightarrow{G_i I_i} \times \vec{R}_i + \vec{0} + \vec{\Gamma}_i \Rightarrow J \frac{d\omega}{dt} \Big|_{\mathcal{R}} = -\frac{1}{2} mra = rT_i + \Gamma_{iz}.$

On en déduit les relations : $-\frac{1}{2} mra = rT_1 - \Gamma$ (3) et $-\frac{1}{2} mra = rT_2$ (4).

Par ailleurs, le TMC appliqué à la voiture s'écrit :

$$\frac{d\vec{L}_G(\Sigma/\mathcal{R})}{dt} \Big|_{\mathcal{R}} = \sum_{i=1}^4 \overrightarrow{G_i I_i} \times \vec{R}_i + \vec{0} = (\overrightarrow{G_i I_i} + \overrightarrow{G_i I_3}) \times \vec{R}_1 + (\overrightarrow{G_i I_i} + \overrightarrow{G_i I_4}) \times \vec{R}_2 \Rightarrow$$

$$-2mra \vec{u}_z = 2(-h\vec{u}_y + d\vec{u}_x) \times (T_1 \vec{u}_x + N_1 \vec{u}_y) + 2(-h\vec{u}_y - d\vec{u}_x) \times (T_2 \vec{u}_x + N_2 \vec{u}_y).$$

On obtient alors la relation: $-rma = h(T_1 + T_2) + d(N_1 - N_2)$ (5).

- (1), (3) et (4) $\Rightarrow \frac{\Gamma}{r} - ma = T_1 + T_2 = \frac{M'}{2} a \Rightarrow a = \frac{\Gamma}{\left(\frac{M'}{2} + m \right) r}.$

- (4) $\Rightarrow T_2 = -\frac{m\Gamma}{(M' + 2m)r}.$ (3) $\Rightarrow T_1 = \frac{(M' + m)\Gamma}{(M' + 2m)r}.$

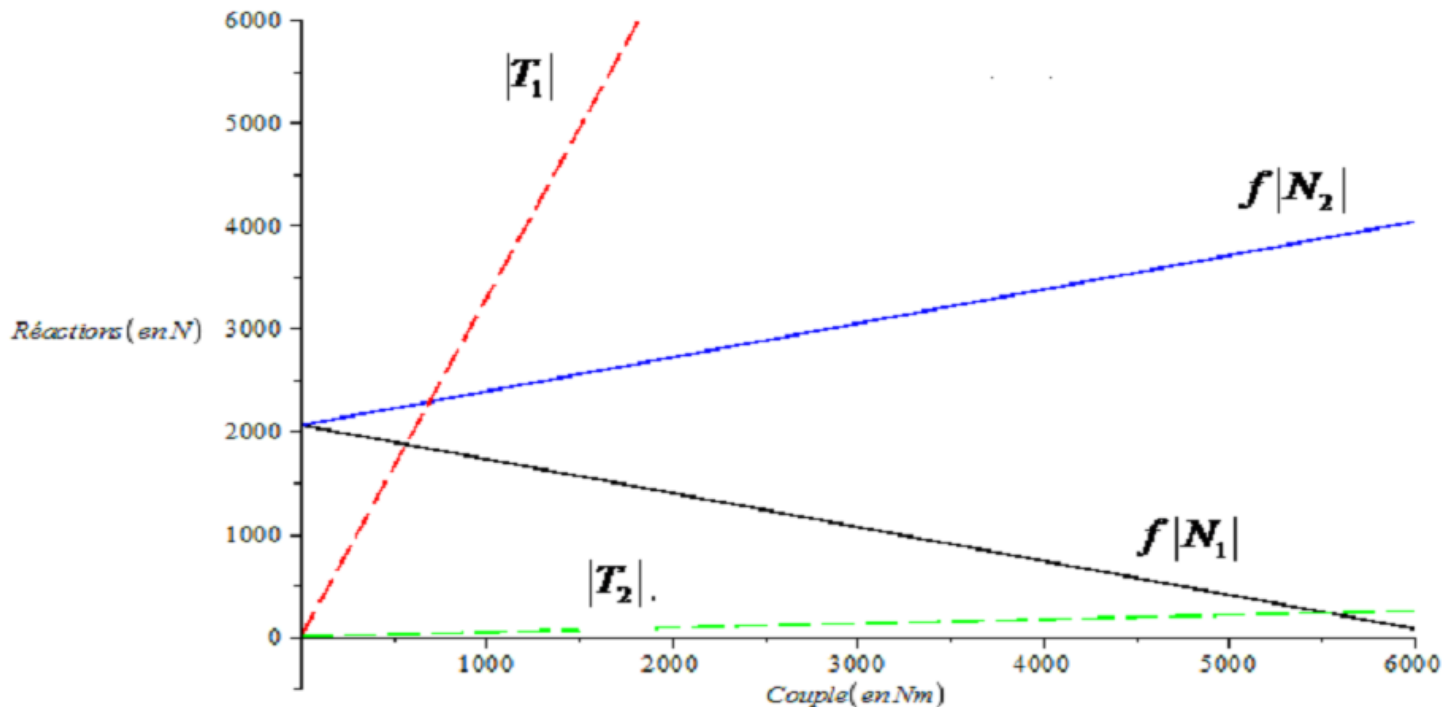
- (1), (2) et (5) $\Rightarrow N_1 = \frac{M'g}{4} - \left(\frac{hM'}{2d} + \frac{rm}{d} \right) \frac{\Gamma}{(M' + 2m)r}$ et $N_2 = \frac{M'g}{4} + \left(\frac{hM'}{2d} + \frac{rm}{d} \right) \frac{\Gamma}{(M' + 2m)r}.$

2.2.5. On a : $N_2 > N_1$. Les roues arrières ne décollent jamais car $N_2 > 0$. Les roues avant peuvent

décoller si N_1 est nulle. C'est-à-dire pour $\Gamma = \frac{(M' + 2m)M'gd}{\left(\frac{2hM'}{r} + 4m\right)}$.

2.2.6. Influence du couple moteur.

2.2.6.1.



2.2.6.2..

1) pas de patinage tant que $|T_i| < f|N_i|$. Soit pour un couple $\Gamma < \Gamma_0 = \frac{(M' + 2m)fM'gr}{4\left[M' + m + f\left(\frac{hM'}{2d} + \frac{rm}{d}\right)\right]}$.

2) pas de décollage des roues tant que $N_i > 0$. Soit : $\Gamma < \Gamma_1 = \frac{(M' + 2m)}{2\left(\frac{M'h}{r} + 2m\right)}M'gd$.

2.2.7. Dans cette phase de glissement, (1) et (2) $\Rightarrow M'a = 2(T_1 + T_2) = -2fM'g \Rightarrow d(v^2) = 2vadt = 2adx$

$\Rightarrow v^2(t_2) = 2fgd_f$. Soit : $d_f = \frac{v^2(t_2)}{2fg}$. AN : $d_f \approx 34m$.

2.2.8. Les facteurs susceptibles de diminuer la valeur de f :

- Surface de contact lisse (vieillesse des pneus),
- Présence sur la route de verglas, de pluie, d'huile

...

3. Quelques situations à risques

3.1. Mouvement dans un virage

3.1.1. $f \neq f'$: la forme du maillage des pneus (dessin) vis-à-vis les deux mouvements n'est pas la même.

Remarque (complément) : autre différence selon la surface de contact, on pourrait aussi envisager la possibilité de culbutement (renversement du véhicule).



3.1.2. En mouvement circulaire uniforme : $\vec{a} = \frac{v^2}{R} \vec{u}_n$.

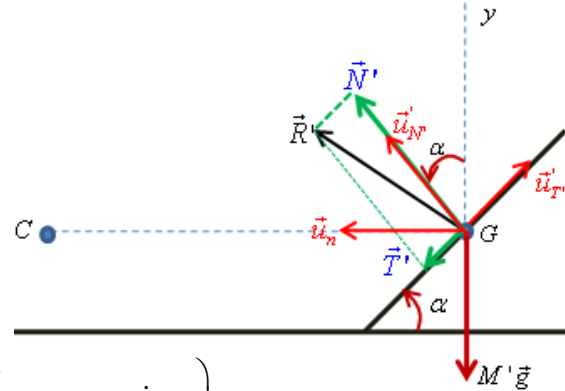
3.1.3. La voiture ne glisse pas tant que : $|T'| = M' \frac{v^2}{R} < f' N' = f' M' g$. Soit : $v < v_{\text{lim}} = \sqrt{f' g R}$.

AN : $v_{\text{lim}} \# 12,5 m.s^{-1}$ ou $v_{\text{lim}} \# 45 km.h^{-1}$.

3.1.4. Route de virage inclinée

3.1.4.1. D'après le TRC : $M' \frac{v^2}{R} \vec{u}_n = \vec{R}' + M' \vec{g} \Rightarrow$

$$M' \frac{v^2}{R} (\sin \alpha \vec{u}_{N'} - \cos \alpha \vec{u}_{T'}) = \vec{R}' - M' g (\cos \alpha \vec{u}_{N'} + \sin \alpha \vec{u}_{T'})$$



$$\text{D'où : } N' = M' \left(\frac{v^2}{R} \sin \alpha + g \cos \alpha \right) \quad \text{et} \quad T' = -M' \left(\frac{v^2}{R} \cos \alpha - g \sin \alpha \right).$$

3.1.4.2. La réaction est normale à la route si : $T' = 0 \Rightarrow \frac{v_{cr}^2}{R} \cos \alpha = g \sin \alpha \Rightarrow v_{cr} = \sqrt{R g \tan \alpha}$.

3.1.4.3. Pour $v < v_{cr}$, $|T'| = M' \left(g \sin \alpha - \frac{v^2}{R} \cos \alpha \right)$. Il n'y aura pas de dérapage tant que : $|T'| < f' N'$.

$$\text{Soit : } g \sin \alpha - \frac{v^2}{R} \cos \alpha < f' \left(\frac{v^2}{R} \sin \alpha + g \cos \alpha \right) \text{ ou } g (\sin \alpha - f' \cos \alpha) < \frac{v^2}{R} (f' \sin \alpha + \cos \alpha).$$

Ou encore : $v > v_{\min} = \sqrt{\frac{R g (\tan \alpha - f')}{(f' \tan \alpha + 1)}}$: Dans un virage incliné, la voiture risque de déraper si la vitesse est assez faible sous l'effet de son poids.

3.1.4.4. Pour $v > v_{cr}$, $|T'| = M' \left(\frac{v^2}{R} \cos \alpha - g \sin \alpha \right)$. Il n'y aura pas de dérapage tant que :

$$\frac{v^2}{R} \cos \alpha - g \sin \alpha < f' \left(\frac{v^2}{R} \sin \alpha + g \cos \alpha \right) \text{ ou : } \frac{v^2}{R} (\cos \alpha - f' \sin \alpha) < g (\sin \alpha + f' \cos \alpha).$$

Ou encore : $v < v_{\max} = \sqrt{\frac{R g (\tan \alpha + f')}{(1 - f' \tan \alpha)}}$: contrairement au virage plan, on peut aborder un

virage incliné avec une vitesse beaucoup supérieure à v_{lim} sans risque de dérapage.

3.1.4.5. D'après 3.1.4.3 : $v_{\min,0} = 0 \Rightarrow \alpha = \tan^{-1}(f') = \alpha_0 \# 38,66^\circ$, $v_{cr}(\alpha_0) = \sqrt{f' R g} = v_{\text{lim}} \# 45 km.h^{-1}$.

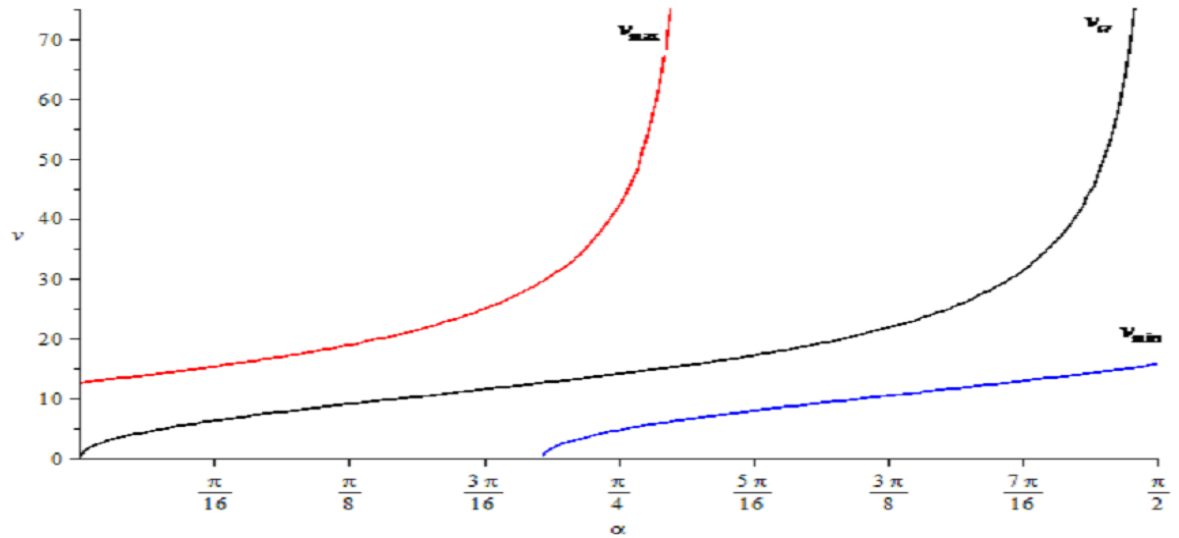
$$v_{\max}(\alpha_0) = \sqrt{R g \tan(2\alpha_0)} = \sqrt{\frac{2 g R f'}{1 - f'^2}} = v_{\max,0} \# 106 km.h^{-1}. \text{ Pour un angle d'inclinaison } \alpha_0, \text{ il}$$

n'y'aura pas de dérapage, pour des vitesses relativement faibles, si : $0 < v < v_{\text{lim}}$, et pour des vitesses relativement grandes si $v_{\text{lim}} < v < v_{\max,0}$.

Conclusion :

Une route construite avec un angle d'inclinaison $\alpha_0 = \tan^{-1}(f')$ permet une vitesse maximale d'abordage $v_{\max,0} = \sqrt{Rg \tan(2\alpha_0)}$: pas de dérapage pour toute vitesse $0 < v < v_{\max,0}$.

Remarque (complément non demandé) : variation de l'intervalle des vitesses (en m/s) de non dérapage avec l'angle d'inclinaison de la route sur l'horizontale.



3.2. Etude d'un accident entre deux véhicules

3.2.1. Cas $t_r=0$

3.2.1.1. D'après le TRC, $M_i \vec{a}_i = \vec{T}_i + \vec{N}_i + M_i \vec{g}$. En projection, $\vec{N}_i = -M_i \vec{g}$ et $M_i \vec{a}_i = \vec{T}_i = -f N_i \vec{u}_x$.
 $\Rightarrow \vec{a}_1 = \vec{a}_2 = -fg \vec{u}_x$.

3.2.1.2. $d_1 - d_2 = \frac{v_0^2}{2fg} - \frac{k^2 v_0^2}{2fg} = \frac{v_0^2}{2fg} (1 - k^2) = \frac{5}{18} \frac{v_0^2}{fg}$. à l'arrêt, $x_2 - x_1 = D + d_2 - d_1 = D - \frac{5}{18} \frac{v_0^2}{fg}$.

AN : $x_2 - x_1 \approx 5,5m$. Pas d'accident.

3.2.1.3. $x_1' = v_0 t_{rm} + d_1 = x_2 = D + d_2 \Rightarrow v_0 t_{rm} = D + d_2 - d_1 \Rightarrow t_{rm} = \frac{1}{v_0} \left(D - \frac{5}{18} \frac{v_0^2}{fg} \right)$. AN : $t_{rm} \approx 0,22s$.

Précautions : laisser une distance 'suffisante' entre les véhicules qui se suivent, diminuer la vitesse, être attentif et vigilant (sommolence, effets de médicaments et autres...), freinage assisté, pneus en bon état,...

3.2.2. Cas $t_r=2t_{rm}$

3.2.2.1. On suppose le camion immobile au moment du choc. Ainsi :

$$x_1'' = 2v_0 t_{rm} + \frac{v_0^2 - v_a^2}{2fg} = 2v_0 t_{rm} + d_1 - \frac{v_a^2}{2fg} = x_2 = D + d_2 \Rightarrow \frac{v_a^2}{2fg} = 2v_0 t_{rm} + d_1 - d_2 - D = D - d_1 + d_2.$$

$$\Rightarrow v_a = \sqrt{2fg(D - d_1 + d_2)}.$$

Remarque (non demandée) : on peut s'assurer que le camion était déjà immobile, son temps d'arrêt est $t_{a2} \approx 2,83s$, alors que le choc survient après $3,32s$.

3.2.2.2. La conservation de la quantité de mouvement du système isolé donne :

$$(M' + M_c) v_a' = M' v_a \Rightarrow v_a' = \frac{M'}{M' + M_c} v_a = \frac{v_a}{10}.$$

$$3.2.2.3. \text{ D'après le TRC : } a = -fg = \frac{dv}{dt} = \frac{0 - v_a}{T} \Rightarrow T = \frac{v_a}{10fg} . \text{ AN : } T \approx 0,136s .$$

3.2.3. Effet d'un accident sur les usagers de véhicules

Juste après le choc et d'après le principe d'inertie, les passagers (le conducteur et les autres) poursuivent leur mouvement à la vitesse v_a ($t = 0$), supposée celle qu'ils avaient respectivement avant l'impact avec la ceinture, le pare-brise ou le siège du conducteur.

$$3.2.3.1. F_1 = \frac{m_c |\Delta v|}{T} = \frac{m_c v_a}{T} .$$

$$3.2.3.2. \text{ AN : } F_1 \approx 411daN .$$

$F_1 < 800daN$: en utilisant sa ceinture, le risque que court le conducteur jeune n'est pas critique, mais il peut l'être pour un conducteur âgé.

$$3.2.3.3. \text{ On suppose le pare-brise immobile au moment de l'impact. } p = \frac{m_t |\Delta v|}{\tau S} = \frac{9m_t v_a}{10\tau S} .$$

$$\text{ AN : } p \approx 70.10^5 Pa .$$

$$3.2.3.4. F_3 = \frac{m_c}{2} \frac{|\Delta v|}{\tau} = \frac{9m_c v_a}{20\tau} . \text{ AN : } F_3 \approx 4000daN : \text{ tous les passagers doivent mettre les ceintures de sécurité. Le conducteur est "écrasé" par l'avant et par l'arrière, d'où la possibilité d'un effet critique sur le thorax.}$$

3.2.4.

$$3.2.4.1. \text{ A } T \text{ constante : } PV_v = (P + p)(V_v - \pi r_a^2 h_a) \Rightarrow p = \frac{\pi r_a^2 h_a}{(V_v - \pi r_a^2 h_a)} P . \text{ AN : } p \approx 1600Pa .$$

$$3.2.4.2. p > 20Pa : \text{ le son suivant l'ouverture de l'air bag est douloureux pour les oreilles.}$$

4. Utilisation des radars pour mesurer des vitesses

4.1. Mesure de la vitesse d'un véhicule par un radar.

$$4.1.1. \text{ A } t_0 , \text{ la voiture est en } x_0 = d_0 + vt_0 = ct_0 \Rightarrow t_0 = \frac{d_0}{c-v} .$$

$$4.1.2. t_1 = t_0 + \frac{x_0}{c} = 2t_0 . \quad t_1 = \frac{2d_0}{c-v} .$$

$$4.1.3. \text{ A } t_2 , \text{ la voiture est en } x_2 = d_0 + vt_2 = c(t_2 - T) \Rightarrow t_2 = \frac{d_0 + cT}{c-v} .$$

$$4.1.4. t_3 = t_2 + \frac{x_2}{c} = 2t_2 - T = 2 \frac{d_0 + cT}{c-v} - T . \quad t_3 = \frac{2d_0 + (c+v)T}{c-v} .$$

$$4.1.5. T' = t_3 - t_1 = \frac{2d_0 + (c+v)T}{c-v} - \frac{2d_0}{c-v} . \text{ soit : } T' = \frac{(1-v/c)}{(1+v/c)} T \text{ et } v' = \frac{(c-v)}{(c+v)} v .$$

$T' > T$: L'écho est plus grave que le signal émis lorsque le véhicule s'éloigne de la source.

$$4.1.6. \delta v = v' - v = \left(\frac{c-v}{c+v} - 1 \right) v = - \frac{2v}{c+v} v . \text{ Soit : } \delta v \approx - \frac{2v}{c} v .$$

$$4.1.7. v \approx \frac{c \delta v}{2v} . \text{ AN : } v \approx 29m.s^{-1} . \text{ Ou : } v \approx 105km.h^{-1} : \text{ excès de vitesse !!}$$

$$4.1.8. \text{ décalage vers le rouge et extension de l'univers. Elargissement spectral des lampes haute pression.}$$

4.2. Principe de la détection radar.

$$4.2.1. \quad \vec{E}(M, t) = E_0 \cos(\omega t - kx) \vec{u}_y = E_0 \cos\left(2\pi\nu\left(t - \frac{x}{c}\right)\right) \vec{u}_y.$$

$$4.2.2. \quad \vec{B}_i(M, t) = \frac{\vec{u}_x}{c} \times \vec{E}_i(M, t) = \frac{E_0}{c} \cos\left(2\pi\nu\left(t - \frac{x}{c}\right)\right) \vec{u}_z.$$

$$4.2.3. \quad \text{Conditions de passage : } \vec{E}(x_V^+, t) - \vec{E}(x_V^-, t) = \vec{0} - \vec{E}(x_V^-, t) = \frac{\sigma(x_V, t)}{\epsilon_0} \vec{u}_x \quad (\text{L1}).$$

$$\vec{B}(x_V^+, t) - \vec{B}(x_V^-, t) = \mu_0 \vec{j}_s(x_V, t) \times \vec{u}_x \quad (\text{L2}).$$

Le champ de l'onde incidente, à elle seule, ne peut pas vérifier ces conditions. En effet, avec

$$\text{l'onde incidente seule, } (\text{L1}) \Rightarrow -\vec{E}_i(x_V^-, t) = -E_{iy}(x_V^-, t) \vec{u}_y = \frac{\sigma(x_V, t)}{\epsilon_0} \vec{u}_x = \vec{0} : \text{absurde. D'où}$$

l'existence de l'onde réfléchie vérifiant : $\vec{E}(x_V^-, t) = \vec{E}_i(x_V, t) + \vec{E}_r(x_V, t) = \vec{0}$ (L1) et

$$\vec{B}_i(x_V, t) + \vec{B}_r(x_V, t) = \mu_0 \vec{u}_x \times \vec{j}_s(x_V, t) \quad (\text{L2}).$$

4.2.4. Soient \mathcal{R} et \mathcal{R}' deux référentiels galiléens. \mathcal{R}' en translation à la vitesse \vec{v}_e par rapport à \mathcal{R} . La célérité c de la lumière dans le vide, la charge q d'une particule ponctuelle et la loi d'interaction de Lorentz qu'elle subit dans un champ électromagnétique (\vec{E}, \vec{B}) sont invariants par changement de référentiel galiléen.

$$\text{Ainsi : } q(\vec{E} + \vec{v} \times \vec{B}) = q(\vec{E}' + \vec{v} \times \vec{B}') = q(\vec{E}' + (\vec{v} - \vec{v}_e) \times \vec{B}') \Rightarrow \vec{E} + \vec{v} \times \vec{B} = \vec{E}' - \vec{v}_e \times \vec{B}' + \vec{v} \times \vec{B}' \quad \forall \vec{v}.$$

D'où les lois de transformation des champs : $\vec{B}' = \vec{B}$ et $\vec{E}' = \vec{E} + \vec{v}_e \times \vec{B}$.

$$\text{- pour l'onde incidente : } \vec{E}_i' = \vec{E}_i + \vec{v}_e \times \vec{B}_i = \vec{E}_i + \vec{v} \times \left(\frac{\vec{u}_x}{c} \times \vec{E}_i\right) = \vec{E}_i + \left(\vec{0} - \left(\vec{v} \times \frac{\vec{u}_x}{c}\right)\right) \vec{E}_i = \left(1 - \frac{v}{c}\right) \vec{E}_i.$$

$$\text{- pour l'onde réfléchie : } \vec{E}_r' = \vec{E}_r + \vec{v}_e \times \vec{B}_r = \vec{E}_r + \vec{v} \times \left(\frac{-\vec{u}_x}{c} \times \vec{E}_r\right) = \left(1 + \frac{v}{c}\right) \vec{E}_r.$$

$$4.2.5. \quad x_V(t) = vt. \quad (\text{On prend } x_V(0) = 0).$$

$$4.2.6. \quad \text{Dans } \mathcal{R}', \quad (\text{L1}) \Rightarrow \vec{E}_i'(V, t) + \vec{E}_r'(V, t) = \vec{0} \\ \Rightarrow E_0' \cos(2\pi\nu(1 - v/c)t) \vec{u}_y + \vec{E}_{0r}' \cos(2\pi\nu_r(1 + v/c)t) = \vec{0} \quad \forall t \quad (\text{L1}').$$

$$4.2.7. \quad (\text{L1}') \Rightarrow \nu(1 - v/c) = \nu_r(1 + v/c) \Rightarrow \nu_r = \frac{(1 - v/c)}{(1 + v/c)} \nu. \quad (\text{la même qu'en 4.1.5.})$$

$$(\vec{E}_{0r}' = -E_0' \vec{u}_y = \left(1 - \frac{v}{c}\right) E_0 \vec{u}_y. \quad \vec{E}_{0r} = \frac{(1 - v/c)}{(1 + v/c)} E_0 \vec{u}_y)$$

$$4.2.8. \quad \text{Loi de Faraday - Lenz : } e = -\frac{d\Phi(t)}{dt}. \quad \Phi(t) = N \iint_{\text{une spire}} \vec{B}_r \cdot d\vec{s}.$$

$$4.2.9. \quad \lambda_r = \frac{c}{\nu_r} = \frac{(1 - v/c)}{(1 + v/c)} \frac{c}{\nu}. \quad \text{AN : } \lambda_r \approx 6 \text{ cm} : \text{la largeur du cadre } l = 5 \text{ mm} \ll \lambda_r. \quad \text{on peut donc supposer}$$

le champ réfléchi comme uniforme sur le cadre.

$$\text{Ainsi : } \Phi(t) = NILB_{rz}(0, t) = NIL \frac{(1 - v/c)}{(1 + v/c)} \frac{E_0}{c} \cos(2\pi\nu_r t).$$

$$\text{Approximativement : } \Phi(t) \approx NIL \left(1 - \frac{2v}{c}\right) \frac{E_0}{c} \cos(2\pi\nu_r t) \approx NIL \frac{E_0}{c} \cos(2\pi\nu_r t).$$

$$4.2.10. \quad e(t) = 2\pi\nu NIL \frac{(1-v/c)}{(1+v/c)} \frac{E_0}{c} \sin(2\pi\nu_r t) \cdot V_{d,eff} = \sqrt{2}\pi\nu NIL \frac{(1-v/c)}{(1+v/c)} \frac{E_0}{c} \approx \sqrt{2}\pi\nu NIL (1-2v/c) \frac{E_0}{c}.$$

$$\text{Approximativement : } V_{d,eff} \approx \sqrt{2}\pi\nu NIL (1-2v/c) \frac{E_0}{c} \approx \sqrt{2}\pi\nu NIL \frac{E_0}{c}.$$

$$4.2.11. \quad \text{Par unit  de surface, la puissance moyenne d tect e est: } \frac{1}{S} \iint_S \langle \vec{\pi}_r \rangle d\vec{s}. \text{ Or : } \vec{\pi}_r = \vec{E}_r \times \frac{\vec{B}_r}{\mu_0} = \epsilon_0 c \vec{E}_r^2.$$

$$P_{m,s} = \epsilon_0 c \langle \vec{E}_r^2 \rangle = \frac{\epsilon_0 c}{2} \left[\frac{(1-v/c)}{(1+v/c)} \right]^2 E_0^2 = \frac{\epsilon_0 c^3}{4N^2\pi^2} \left(\frac{V_{d,eff}}{\nu_r IL} \right)^2. \text{ AN : } \underline{P_{m,s} \approx 9,7 \cdot 10^{-17} W}, \text{ trop faible. Ce}$$

radar est donc tr s sensible.